

文章编号:1006-3471(2003)02-0211-06

# 镍系复合氧化物 $\text{Li}_a\text{Ni}_{0.78}\text{Co}_{0.2}\text{Cd}_{0.02}\text{O}_2$ 的合成及电化学性能

袁荣忠,瞿美臻,于作龙 \*

(中国科学院成都有机化学研究所,四川 成都 610041)

**摘要:** 以  $\text{LiOH} \cdot \text{H}_2\text{O}$ ,含镉球状  $\text{Ni(OH)}_2$  和  $\text{Co}_2\text{O}_3$  为原料,采用改进固相反应法合成镍系复合氧化物  $\text{Li}_a\text{Ni}_{0.78}\text{Co}_{0.2}\text{Cd}_{0.02}\text{O}_2$  锂离子电池正极材料,并通过 ICP-AES,XRD,SEM,TEM 及电化学性能测试对该材料进行表征。实验表明,由 Co 和 Cd 部分取代 Ni 元素的复合正极材料  $\text{Li}_a\text{Ni}_{0.78}\text{Co}_{0.2}\text{Cd}_{0.02}\text{O}_2$  仍具有较完好的层状结构,表面分布均匀,颗粒粒径分布窄,且电化学性能稳定。常温下具有较高的可逆容量和优异的循环稳定性,其可逆容量最高达 157.8 mAh/g,循环 50 次后容量仍保持 138.3 mAh/g 左右。

**关键词:** 锂离子电池;正极材料; $\text{Li}_a\text{Ni}_{0.78}\text{Co}_{0.2}\text{Cd}_{0.02}\text{O}_2$ ;层状结构

**中图分类号:** TM911

**文献标识码:** A

$\text{LiNiO}_2$  用作锂离子电池正极材料具有比钴酸锂更低的成本和更高的容量,是最具竞争力的替代材料之一。但要替代钴酸锂且商品化还需克服一些不足之处<sup>[1~5]</sup>:1)由于  $\text{Ni}^{2+}$  难以氧化为  $\text{Ni}^{3+}$  以致电化学活性计量比的  $\text{LiNiO}_2$  不易制备;2) $\text{LiNiO}_2$  结构的不稳定导致循环过程中容量衰退较快,循环稳定性较差;3)充电后期高氧化态的  $\text{Ni}^{4+}$  不稳定,热稳定性差,从而易引起安全性问题。据文献报道<sup>[6,7]</sup>,以 Co,Mn,Al,Ti,Ga 等其它元素取代少量的镍来改变或修饰  $\text{LiNiO}_2$  的结构,是改善  $\text{LiNiO}_2$  综合性能的有效途径,可增强材料的稳定性,提高其充放电容量和循环寿命,其中掺 Co 的固溶体  $\text{LiNi}_{1-y}\text{Co}_y\text{O}_2$  ( $0.2 < y < 0.3$ ) 被认为是  $\text{LiNiO}_2$  的最佳更替物,表现出更为优异的综合性能,已成为锂离子蓄电池电极材料研究的热点<sup>[8,9]</sup>。但目前限制其商品化的主要障碍仍在大规模生产合成困难。另有专利报道<sup>[10]</sup>,在复合氧化物  $\text{Li}_a\text{Ni}_{1-y}\text{Co}_y\text{O}_2$  中掺杂少量的 Cd 元素有利于进一步提高材料的充放电循环稳定性和热稳定性。但未见有更深入的研究报道。

本文以广泛应用于镍镉,镍氢二次电池的掺 Cd 球镍电极材料作主要原料,通过改进的固相反应方法合成了 Li-Ni-Co-Cd-O 复合氧化物。实验表明,以该复合氧化物作锂离子电池正极材料具有优良的电化学性能。

收稿日期:2002-08-26,修订日期:2002-10-21

\* 通讯联系人, Tel: (86-28) 85223721, E-mail: chemyrz @hotmail.com

## 1 实验部分

### 1.1 材料合成

按  $\text{Li}_{0.78}\text{Ni}_{0.2}\text{Co}_{0.02}\text{O}_2$  计量比称取含镉球镍 (Ni 约 60.39% Cd 约 3.15%) 和  $\text{Co}_2\text{O}_3$  (CA 98.5%) 在玛瑙研钵中充分研磨均匀, 再加入过量 8% 的  $\text{LiOH} \cdot \text{H}_2\text{O}$  (AR 95%) 继续研细研匀。将研细粉末于马福炉中 630~650 预煅烧约 6~8 h, 冷却后经研细研匀后, 再将细粉末装在陶瓷舟中于管式炉中氧气氛下 720 烘烧约 16 h, 自然冷却至室温取出研磨, 即得到灰黑色  $\text{Li-Ni-Co-Cd-O}$  复合氧化物粉末正极材料。另采用不含镉的球镍, 于同样的条件下制得层状结构的化合物  $\text{Li}_{0.8}\text{Ni}_{0.2}\text{O}_2$ 。

### 1.2 样品电池组装

以自制的复合氧化物为正极活性物质, 乙炔黑为导电剂, 聚四氟乙烯 (PTFE) 乳液为粘接剂, 三者的质量比为 85:10:5, 经充分混匀后成糊状物涂于厚度约为 20 μm 的铝箔集流体上作为电极片, 于真空干燥箱中 150 干燥 6 h 以上。然后以 1.0 mol/L  $\text{LiClO}_4$ /EC + DEC [V (EC) V (DEC) = 1:1] 为电解液, Cellgard 2400 (美国) 作隔膜, 金属 Li 为对电极 (参比电极), 在充满氩气的不锈钢手套箱中装配成模拟扣式电池。

### 1.3 测试仪器及表征方法

恒电流充放电测试采用 DC-5 型程控全自动充放电测试仪 (上海正方电子电器有限公司), 充放电截止电压范围 2.7~4.25 V, 充放电电流 0.15~0.3 mA (电流密度 0.3~0.6 mA/cm<sup>2</sup>), 充放电速率 0.4~0.5 C。

XRD 表征采用 Rigaku D/max-rA 粉末 X 射线衍射仪, Cu Kα 辐射, 石墨单色器, 40 kV, 120 mA。SEM 观察用 JEOL JSM-35 型扫描电子显微镜, 加速电压 40 kV。TEM 表征用 JEOL JEM-100CX 透射电子显微镜。正极材料组分分析用 ICP-AES 仪 (美国热电公司)。

## 2 结果与讨论

### 2.1 元素分析

合成材料计量组成 ICP-AES 分析结果表明, 高温煅烧过程中因锂盐挥发导致少量的锂损失。最终得到的近似计量产物可分别表示为

$\text{Li}_{1.07}\text{Ni}_{0.75}\text{Co}_{0.21}\text{Cd}_{0.02}\text{O}_{2.02}$  和  $\text{Li}_{1.06}\text{Ni}_{0.76}\text{Co}_{0.21}\text{O}_2$ 。

### 2.2 XRD

图 1 是  $\text{Li}_{0.78}\text{Ni}_{0.2}\text{Co}_{0.02}\text{O}_2$  正极材料样品的 XRD 测试结果。由图可见, 样品材料呈较完好的层状结构。其 XRD 衍射峰可与理想的  $\text{LiNi}_{0.8}\text{Co}_{0.2}\text{O}_2$  (六方晶系, R3-m 点群) 各衍射峰相对应, 峰形尖锐且强度较高。I(003)/I(104) 比值为 1.40, 明显有 (012), (006) 及

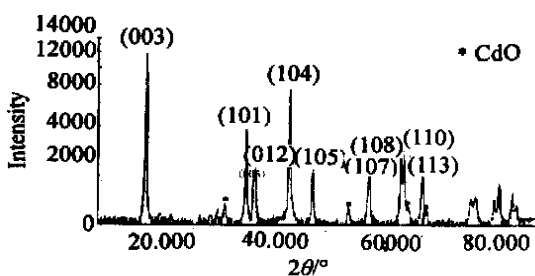


图 1  $\text{Li}_{0.78}\text{Ni}_{0.2}\text{Co}_{0.02}\text{O}_2$  粉末的 X 射线衍射图

Fig. 1 The XRD pattern of  $\text{Li}_{0.78}\text{Ni}_{0.2}\text{Co}_{0.02}\text{O}_2$  powers

(108), (110)两组分裂峰。但图1中也同时显示出极少量的杂相,经证实为CdO相的衍射峰。这可能是由于Cd不能与材料形成均一固溶体所致。

### 2.3 SEM 和 TEM

样品  $\text{Li}_a\text{Ni}_{0.78}\text{Co}_{0.2}\text{Cd}_{0.02}\text{O}_2$  的SEM和TEM照片如图2所示。由图可见,材料粉末颗粒表面形貌清晰规则,大小较均匀,粒径分布较窄(大多在0.3~0.8 μm之间)。平均粒径为0.5 μm左右。该粒径尺寸属亚微米级,更有利于锂离子在表面的脱嵌。

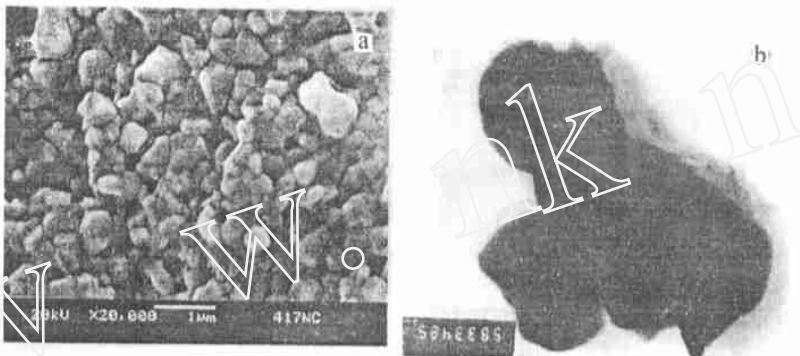


图2  $\text{Li}_a\text{Ni}_{0.78}\text{Co}_{0.2}\text{Cd}_{0.02}\text{O}_2$  样品的 SEM(a) 和 TEM(b) 照片

Fig. 2 SEM(a) and TEM (b) images of the  $\text{Li}_a\text{Ni}_{0.78}\text{Co}_{0.2}\text{Cd}_{0.02}\text{O}_2$  sample

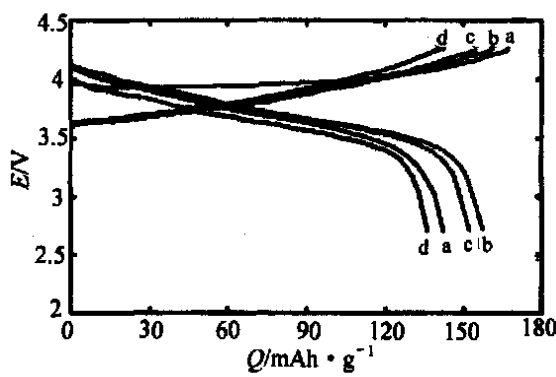


图3 用于锂离子电池正极材料的  $\text{Li}_a\text{Ni}_{0.78}\text{Co}_{0.2}\text{Cd}_{0.02}\text{O}_2$  循环充放电( $E \sim Q$ )曲线

Fig. 3 The  $E \sim Q$  curves for  $\text{Li}_a\text{Ni}_{0.78}\text{Co}_{0.2}\text{Cd}_{0.02}\text{O}_2$  cathode material used to the Lithium ion battery in various charge/ discharge cycles, cycle numbers:  
a) 1 st, b) 4 th, c) 10 th, d) 50 th

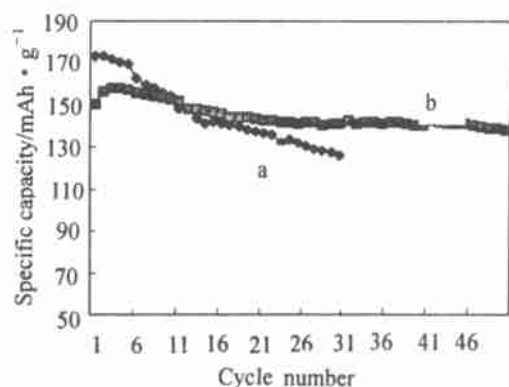


图4 用于锂离子正极材料的  $\text{Li}_a\text{Ni}_{0.78}\text{Co}_{0.2}\text{O}_2$  (a) 与  $\text{Li}_a\text{Ni}_{0.78}\text{Co}_{0.2}\text{Cd}_{0.02}\text{O}_2$  (b) 在充放电循环中比容量稳定性比较

Fig. 4 Comparisons of specific capacity stability between the  $\text{Li}_a\text{Ni}_{0.78}\text{Co}_{0.2}\text{O}_2$  (a) and  $\text{Li}_a\text{Ni}_{0.78}\text{Co}_{0.2}\text{Cd}_{0.02}\text{O}_2$  (b) cathode material used to Lithium ion battery in various charge/ discharge cycles

## 2.4 电化学性能

图 3 为  $\text{Li}_a\text{Ni}_{0.78}\text{Co}_{0.2}\text{Cd}_{0.02}\text{O}_2$  经不同循环次数充放电的  $E \sim Q$  曲线。图中示出,整个充放电过程中曲线变化平稳。电容量主要分布在 3.5 V 以上。充放电平均工作电压分别为 3.89 V 和 3.71 V 左右。对初始几次的充放电循环,其放电电压较高,最高时达 4.18 V。当材料经活化稳定后。 $E \sim Q$  曲线便不呈现明显大的变化。但放电至 3.45 V 左右处即缓缓转折下降直到 2.7 V,而且各循环次数的  $E \sim Q$  变化几乎都没有差别,这表明于材料中加入 Cd 后,该复合氧化物在锂离子可逆嵌入脱出过程中仍保持结构稳定,循环性能较好。

由表 1 可知, $\text{Li}_a\text{Ni}_{0.78}\text{Co}_{0.2}\text{O}_2$  材料首次的充电容量为 169.6 mAh/g,其库仑效率为 88.5%,不可逆容量为 19.3 mAh/g。而对  $\text{Li}_a\text{Ni}_{0.8}\text{Co}_{0.2}\text{O}_2$  虽其首次充放电容量较高,分别为 206.8 mAh/g 和 173.5 mAh/g,但相应的库仑效率却较低,仅 83.9%,不可逆容量为 33.3 mAh/g。这表明少量掺杂 Cd 元素后的  $\text{Li}_a\text{Ni}_{0.78}\text{Co}_{0.2}\text{Cd}_{0.02}\text{O}_2$  正极材料具有更好的可逆性。

表 1  $\text{Li}_a\text{Ni}_{0.8}\text{Co}_{0.2}\text{O}_2$  和  $\text{Li}_a\text{Ni}_{0.78}\text{Co}_{0.2}\text{Cd}_{0.02}\text{O}_2$  正极材料首次充放电循环的比容量及库仑效率的测定值  
Tab. 1 Specific capacity (mAh/g) and reversible efficiency for the materials of  $\text{Li}_a\text{Ni}_{0.8}\text{Co}_{0.2}\text{O}_2$  and  $\text{Li}_a\text{Ni}_{0.78}\text{Co}_{0.2}\text{Cd}_{0.02}\text{O}_2$  in first cycle of charge/ discharge

Cathode materials	Charge / mAh g <sup>-1</sup>	Discharge / mAh g <sup>-1</sup>	Irreversible loss / mAh g <sup>-1</sup>	Reversible efficiency (%)
$\text{Li}_a\text{Ni}_{0.8}\text{Co}_{0.2}\text{O}_2$	206.8	173.5	33.3	83.9
$\text{Li}_a\text{Ni}_{0.78}\text{Co}_{0.2}\text{Cd}_{0.02}\text{O}_2$	169.4	150.3	19.3	88.5

图 4 示出  $\text{Li}_a\text{Ni}_{0.78}\text{Co}_{0.2}\text{Cd}_{0.02}\text{O}_2$  与  $\text{Li}_a\text{Ni}_{0.8}\text{Co}_{0.2}\text{O}_2$  两种正极材料的容量循环稳定性。由图可知,对  $\text{Li}_a\text{Ni}_{0.78}\text{Co}_{0.2}\text{Cd}_{0.02}\text{O}_2$  样品(曲线 2)在初始的几次循环中,其可逆容量虽较低(材料经活化稳定后最高容量为 157.8 mAh/g),但循环 50 次后比容量仍达 138.3 mAh/g。表现出较好的循环稳定性。而样品  $\text{Li}_a\text{Ni}_{0.8}\text{Co}_{0.2}\text{O}_2$  的起始循环比容量(曲线 1)虽较高(> 170 mAh/g),但在循环过程中衰减较快,循环 30 次后容量就降到 126.1 mAh/g。总之,与  $\text{Li}_a\text{Ni}_{0.8}\text{Co}_{0.2}\text{O}_2$  相比,以少量金属镉共掺杂的  $\text{Li}_a\text{Ni}_{0.78}\text{Co}_{0.2}\text{Cd}_{0.02}\text{O}_2$  作锂离子电池正极材料,虽其初始容量稍低,但循环稳定性却有较大的提高。

## 3 结 论

1) 采用固相法分步合成了颗粒均匀、晶型较好的  $\text{Li}_a\text{Ni}_{0.78}\text{Co}_{0.2}\text{Cd}_{0.02}\text{O}_2$  复合氧化物作锂离子电池正极材料。此合成法原料方便易得、处理温度适中,工艺简单,且合成过程无环境污染,有利于实现规模生产。

2) 掺杂 Cd 后的复合氧化物,其电化学性能得到较好的改善,在保持较高比容量同时,表现出优异的循环稳定性。该掺杂材料的最高可逆容量为 157.8 mAh/g,充放电效率高,循环 50 周次后容量仍达 138.3 mAh/g。这可能是因为二价镉离子的加入能有效地调节该材料在充放

电过程中层状结构的阳离子分布,从而稳定了该材料的结构,抑制了充放电过程可能出现结构塌陷,使得镍离子能以较高价态存在,从而较大地提高了循环可逆性.

## Synthesis and Electrochemical Characteristics of Nickel-based Complex Oxide $\text{Li}_a\text{Ni}_{0.78}\text{Co}_{0.2}\text{Cd}_{0.02}\text{O}_2$

YUAN Rong-zhong, QU Mei-zhen, YU Zuo-long\*

(Chengdu Institute of Organic Chemistry, Chinese Academy of Sciences,  
Chengdu 610041, China)

**Abstract:** The nickel-based complex oxide  $\text{Li}_a\text{Ni}_{0.78}\text{Co}_{0.2}\text{Cd}_{0.02}\text{O}_2$  cathode materials for lithium-ion rechargeable batteries was synthesized by the improved solid-state reaction method with  $\text{LiOH} \cdot \text{H}_2\text{O}$ , ball-like Cd-doped  $\text{Ni}(\text{OH})_2$  and  $\text{Co}_2\text{O}_3$  as raw materials. The analysis ICP-AES proved that the as-prepared compounds were near the stoichiometric form. The XRD, SEM and electrochemical characteristics testing were also carried out. The results showed that the complex cathode material  $\text{Li}_a\text{Ni}_{0.78}\text{Co}_{0.2}\text{Cd}_{0.02}\text{O}_2$  has layered structure, homogeneous surface distributions, uniform particles with good crystal morphology as well as stable electrochemical performances. At ambient temperature the resulted materials have a high reversible capacity and good cycling stability. Its highest initial reversible capacity is more than 157.8 mAh/g and still kept at 138.3 mAh/g after 50 continuous cycles.

**Key words:** Lithium-ion batteries, Cathode materials,  $\text{Li}_a\text{Ni}_{0.78}\text{Co}_{0.2}\text{Cd}_{0.02}\text{O}_2$ , Layered structure

### References:

- [1] Ohzuku T, Ueda A, Nagayama M. Electrochemistry and structural chemistry of  $\text{LiNiO}_2$  ( $\text{R}-3\text{m}$ ) for 4 Volt secondary lithium cells[J]. J. Electrochem. Soc., 1993, 140: 1 862~1 869.
- [2] Rougier A, Gravereau P, Delmas C. Optimization of the composition of the  $\text{Li}_{1-x}\text{Ni}_{1+x}\text{O}_2$  electrode materials: structure, magnetic and electrochemical studies[J]. J. Electrochem. Soc., 1996, 143: 1 168~1 174.
- [3] Delmas C, Peres J P, Rougier A, et al. On the behavior of the  $\text{Li}_x\text{NiO}_2$  system: an electrochemical and structural overview[J]. J. Power Sources, 1997, 68: 120~125.
- [4] Dahn J R, Fuller E W, Obrovac M, et al. Thermal stability of  $\text{Li}_x\text{CoO}_2$ ,  $\text{Li}_x\text{NiO}_2$  and  $\text{Li}_x\text{MnO}_2$  and consequences for the safety of Li-ion cells[J]. Solid State Ionics, 1994, 69: 265~270.
- [5] Arai H, Okada S, Sakurai Y, et al. Thermal behavior of  $\text{Li}_{1-y}\text{NiO}_2$  and the decomposition mechanism[J]. Solid State Ionics, 1998, 109: 295~302.
- [6] Broussely M, Biensan P, Simon B. Lithium insertion into host materials: the key to success for Li-ion batter-

- ies[J ]. Electrochimica Acta. ,1999 ,45 :7~ 13.
- [7] Liu H S , Yang Y , Zhang Z R , et al. New progress in studies of lithium nickel oxide as positive electrode materials of lithium ion batteries [J ]. Electrochemistry(in Chinese) ,2001 ,7(2) :145 ~ 154.
- [8] Delmas C , Saadoune I. Electrochemical and physical properties of the  $\text{LiNi}_{1-y}\text{Co}_y\text{O}_2$  phases [J ]. Solid State Ionics , 1992 , 53-56 :370~ 375.
- [9] Zhecheva E , Stoyanova R. Stabilization of the layered crystal structural of  $\text{LiNiO}_2$  by Co-substitution [J ]. Solid State Ionics , 1993 , 66 :143~ 149.
- [10] Takuya S , Hiroshi W , Toshiyuki N , et al. Positive electrode material for lithium second battery[P]. EP 944. 125 , 1998.